

بررسی اثر تمرين هوازی بر سایتوکین ضدالتهابی اینترلوکین ۳۵ و پاسخهای رفتاری درد در مدل موش صحرایی نوروپاتی دیابت

سیروس حسینی عسکرآبادی^{*}، احمد کاکی^۱

مقاله پژوهشی

مقدمه: التهاب عصبی نقش مهمی در بروز و ایجاد درد نوروپاتی دیابتی دارد. هدف پژوهش حاضر بررسی اثر تمرين هوازی بر سایتوکین ضدالتهابی اینترلوکین ۳۵ و پاسخهای رفتاری درد در مدل موش صحرایی نوروپاتی دیابت می‌باشد.

روش بررسی: در این مطالعه تجربی، ۲۴ سر موش صحرایی نر ویستار ۸ هفت‌ماهی (محدوده وزنی ۲۰.۴ ± ۱۱.۳ گرم) به طور تصادفی در سه گروه ($n = 8$) شامل: نوروپاتی دیابت، نوروپاتی دیابت تمرين و شاهد قرار گرفتند. پس از تائید ایجاد درد نوروپاتی دیابت توسط آزمودن‌های رفتاری هات پلیت و آلودینیای مکانیکی، پروتکل تمرين هوازی اجرا گردید. میزان بیان ژن‌های اینترلوکین ۳۵ (IL-35) و فاکتور هسته‌ای کاپا بی (NF-kB) در بافت نخاع با روش Real-time PCR اندازه‌گیری شد.

برای تحلیل آماری از آنالیز واریانس یکراهه و آزمون تعقیبی توکی با نرم‌افزار SPSS version 16 استفاده گردید ($p < 0.05$).

نتایج: تمرين موجب کاهش پاسخ آزمون‌های رفتاری درد نوروپاتیک دیابتی در گروه تمرينی نسبت به گروه نوروپاتی دیابت گردید ($P = 0.05 < p$). القاء دیابت باعث کاهش معنی‌دار بیان ژن IL-35 و افزایش معنی‌دار در ژن NF-kB شد ($P = 0.01 < p$). همچنین افزایش معنی‌داری در میزان بیان ژن IL-35 و کاهش معنی‌دار در بیان ژن NF-kB در گروه تمرين نسبت به گروه نوروپاتی دیابت وجود داشت ($P = 0.007$) ($P = 0.034$).

نتیجه‌گیری: به نظر می‌رسد، تمرين هوازی از طریق فعال‌کردن سایتوکین ضدالتهابی IL-35 در میکروگلیاهای نخاع، حساسیت نوسیسپرورها به عوامل درد زا را کاهش داده است. پیشنهاد می‌شود از تمرين هوازی بهمنظور کاهش درد نوروپاتیک استفاده شود.

واژه‌های کلیدی: تمرين هوازی، اینترلوکین ۳۵، NF-kB، درد نوروپاتیک

ارجاع: حسینی عسکرآبادی سیروس، کاکی احمد. بررسی اثر تمرين هوازی بر سایتوکین ضدالتهابی ۳۵-IL و پاسخهای رفتاری درد در مدل موش صحرایی نوروپاتی دیابت. مجله علمی پژوهشی دانشگاه علوم پزشکی شهید صدوqi یزد ۱۴۰۲؛ ۳۱(۱): ۱۲-۱۶.

۱- گروه فیزیولوژی ورزشی، واحد بهبهان، دانشگاه آزاد اسلامی، بهبهان، ایران.

۲- گروه فیزیولوژی ورزشی، واحد اهواز، دانشگاه آزاد اسلامی، اهواز، ایران.

(نویسنده مسئول): تلفن: ۰۹۱۶۸۳۰۵۶۰۷، پست الکترونیکی: siroshfd@gmail.com، صندوق پستی: ۶۳۶۱۷۱۳۱۹۸

مقدمه

این پروتئین را در بیماران دیابتی نشان داده‌اند (۸). شواهد زیادی نشان داده‌اند که IL-35 از طریق مبدل سیگنال STAT1 منجر به مهار TNF- α ناشی از فاکتور رونویسی NF- κ B شده و از پروسه التهاب جلوگیری می‌کند (۸,۹)؛ بنابراین استفاده از راهکارهای غیر دارویی که بتواند این مسیر پیام‌رسانی را تنظیم مثبت کند ممکن است به عنوان یک هدف مولکولی برای درمان تخریب عصبی در بیماران مبتلا به نورودژنراتیو ناشی از دیابت مورد استفاده قرار گیرد. نتایج حاصل از مطالعات اخیر نشان داده است فعالیت‌های هوازی به عنوان یک راهبرد غیر دارویی با افزایش سطوح پروتئین‌های شوک گرمایی، افزایش سطوح سایتوکین‌های ضدالتهابی، کاهش فعالیت میکروگلیاهای نخاع، افزایش بیان نوروتوفین‌ها و کاهش سطوح رادیکال‌های آزاد در سیستم عصبی توانسته است ظرفیت آنتی‌اکسیدانی طبیعی سلول را بالا برد و فشار اکسایشی و التهاب عصبی را کاهش دهد درنتیجه از تخریب پیشرونده نورون‌های حسی جلوگیری کند (۱۰,۱۱). با توجه به شواهد زیادی مبنی بر اثرگذاری تمرین هوازی بر مسیرهای مولکولی و بیوشیمیایی در نوروپاتی دیابتی، اما تاکنون تأثیر ضد دردی تمرین هوازی در رابطه با اینترلوکین ۳۵ و ماهیت ضدالتهابی آن مورد ارزیابی قرار نگرفته است. بنابراین فرض تحقیق بر این است که تمرین هوازی با تنظیم مثبت فعالیت سایتوکین ضدالتهابی IL-35 تأثیر بهسزایی در کاهش سطح التهاب عصبی و درد نوروپاتیک دیابتی ایفا خواهد کرد.

روش بررسی

در پژوهش حاضر راهبرد تحقیق از نوع تجربی بود. تعداد ۲۴ سر موش صحرایی نر نژاد ویستار ۸ هفتگی با محدوده وزنی ۲۰ ± ۴ گرم از مرکز تکثیر حیوانات آزمایشگاهی دانشگاه علوم پزشکی جندی‌شاپور اهواز تهیه و در گروه‌های چهارتایی در قفس‌های استاندارد پلی کربنات در شرایط دمایی ۲۲ ± ۲ درجه سانتی‌گراد تحت چرخه ۱۲:۱۲ ساعت تاریکی - روشنایی و با دسترسی آزاد به آب و غذای ویژه موش نگهداری شدند. بعد از گذشت یک هفته سازگاری با محیط آزمایشگاه، آشناسازی با نوار گردان و دست‌کاری، موش‌ها به طور تصادفی

نوروپاتی دیابتی (Diabetic neuropathy) آسیب عصبی بسیار شایع و ناتوان‌کننده است که بیش از نیمی از بیماران دیابتی را تحت تأثیر قرار می‌دهد. مشخصه پاتوزنر DN آسیب پیش‌رونده و از بین رفتن فیبرهای عصبی میلین دار و بدون میلین است که طیف وسیعی از نقایص و علائم حسی را نشان می‌دهد، این علائم می‌توان به صورت بی‌حسی، ضعف و درد در اندام‌های انتهایی ظاهر شوند (۱,۲). پژوهش‌ها، اختلال در مسیرهای متابولیکی گلوکز را به عنوان اصلی‌ترین پاتوزنر DN شناخته‌اند. محققین نشان داده‌اند که هایپر گلیسمی مزمن منجر به ورود و تجمع گلوکز اضافه در نورون‌ها می‌شود (۳). گلوکز مازاد از طریق مسیرهای متابولیکی متناوب موجب دوچرخه معیوب التهاب و استرس اکسیدانیو در سیستم عصبی می‌شوند (۳). تحقیقات زیادی افزایش سطح سایتوکین‌های پیش‌التهابی و شاخص‌های استرس اکسیدانیو را در سیستم عصبی بیماران دیابتی نشان داده‌اند (۱,۴,۵). مشخص شده است که افزایش سطح این شاخص‌ها در نورون‌ها، منجر به کاهش برفیوژن اعصاب محیطی شده و درنتیجه آن ایسکمی عصبی رخ می‌دهد. به دنبال ایسکمی، فعال‌سازی و تکثیر میکروگلیاهای و نفوذ مازاد نوتروفیل‌ها و منوسیت‌های گردش خون در اعصاب محیطی افزایش می‌یابد (۵). این عوامل با سازوکارهای متعددی از جمله تولید گونه‌های فعال اکسیژن Reactive oxygen species، افزایش سطح سیتوکین‌ها و پروتئازها، موجب آسیب مخروطهای رشدی، انحطاط آکسونی، تخریب غلاف میلین، همچنین اختلال نوزایش عصبی (neurogenesis) و مرگ سلول‌های عصبی شده و نوروپاتی دیابتی را ارتقاء می‌بخشند (۵)؛ بنابراین مهار التهاب و استرس اکسیدانیو در بیماران دیابتی برای تخریب پیش‌رونده بافت عصبی دارای نقش اساسی و مهمی است. اینترلوکین ۳۵ (IL-35) یک Interleukin 35 (IL-35) است که از زیر واحدهای ژن EBI3 پروتئین هترودایمری است. این سایتوکین با ظرفیت ضدالتهابی و کدگذاری می‌شود. این سایتوکین با سرکوب‌کننده سیستم ایمنی از طریق زیر واحدهای IL-12R β 2 و IL-27R α سیگنال می‌دهد (۶,۷). تحقیقات کاهش سطوح

آزمون هات پلیت Hot Plate Test : برای اندازه‌گیری تغییر آستانه درد حرارتی (هایپرآلزیای حرارتی) از آزمون هات پلیت استفاده شد. این آزمون بر اساس روش والف و مکدونالد انجام گرفت (۱۸). برای انجام این آزمون، از دستگاه هات پلیت مدل ام اچ ۹۵۰۰ ساخت شرکت برج صنعت آزما که دارای یک صفحه فلزی به قطر ۱۹ سانتی‌متر و محفظه‌ای از جنس پلکسی‌گلاس (۲۵×۲۵×۳۰ سانتی‌متر) استفاده شد. دستگاه مجهز به زمان‌سنج و ترمومتر است. شدت درجه گرمایی صفحه دستگاه در 52 ± 2 درجه سانتی‌گراد تنظیم شد. قبل از انجام آزمون، برای آشنایی، موش‌ها را به مدت ۲ دقیقه بر روی صفحه دستگاه قرار داده شد؛ سپس دستگاه روشن شد تا دمای صفحه دستگاه به دمای موردنظر ثابت شود. حیوان بر روی صفحه داغ قرار گرفت و هم‌زمان با آن، زمان‌سنج دستگاه روشن شد. زمانی که حیوان شروع به لیسیدن، بالا بردن و یا لرزیدن پا کرد، به عنوان نقطه پایانی و شاخص احساس درد تلقی شد و فوراً زمان‌سنج متوقف و حیوان از دستگاه خارج می‌شد. مدت زمان تأخیر در پس کشیدن پنجه (Paw withdrawal latency) و یا فاصله زمانی شروع قرار گرفتن حیوان بر روی صفحه داغ تا پیدایش پاسخ به درد توسط حیوان، در سه مرحله و به فاصله زمانی ۵ دقیقه در گروه‌های مختلف برحسب ثانیه اندازه‌گیری شد؛ و میانگین آن‌ها به عنوان زمان تأخیر ثبت گردید. زمان عدم واکنش حیوان به صفحه داغ ۳۰ ثانیه (Cut time) در نظر گرفته شد (۱۹).

آزمون آلودینیای مکانیکی Mechanical allodynia test: به منظور اندازه‌گیری تعیین آستانه درد، حیوان روی یک شبکه سیمی و داخل یک محفظه پلکسی‌گلاس به ابعاد 20×20 و ارتفاع ۳۰ سانتی‌متر قرار گرفت. جهت عادت کردن حیوانات به محیط جدید ۳۰ دقیقه قبل از آزمایش، درون محفظه شفاف و روی صفحه مشبك قرار گرفتند. در ادامه به منظور سنجش آلودینیای مکانیکی، از تارهای مختلف Von Frey در محدوده ۲ تا ۶۰ گرم (۲۶، ۶۰، ۱۵، ۱۰، ۸، ۴، ۲، ۱) (ساخت شرکت استولتین کشور آمریکا) جهت سنجش حساسیت پوست به تحريكات تماسی استفاده شد. هر آزمایش

به سه گروه ($n = 8$) نوروپاتی دیابتی (تزریق درون صفاقی ۵۰ میلی‌گرم استرپتوزوسین/کیلوگرم وزن بدن)، نوروپاتی دیابت تمرين (۳۰ دقیقه تمرين هوایی با شدت ۱۵ متر در دقیقه، ۵ روز در هفتة به مدت ۶ هفتة) و شاهد تقسیم شدند. در پژوهش حاضر، کلیه اصول اخلاقی کار با حیوانات توسط کمیته اخلاق پژوهشگاه تربیت‌بدنی و علوم ورزشی با کد (IR.SSRC.REC.1397.017) مورد تائید قرار گرفت.

القاء دیابت: پس از اتمام پروتکل آشناسازی و متعاقب ۱۲ ساعت محرومیت از غذا، القاء دیابت با تزریق درون صفاقی محلول استرپوتزوزوتسین (Sigma, St. Louis, MO pH: ۴/۵)؛ حل شده در بافر سیترات $0/0.5$ مولار با 50 میلی‌گرم به ازای هر کیلوگرم وزن بدن به منظور ایجاد دیابت نوع ۱ صورت گرفت (۱۲، ۱۳). به موش‌های گروه شاهد نیز معادل حجمی بافر سیترات $0/0.5$ مولار با $pH: 4/5$ به صورت درون صفاقی تزریق شد. ۴۸ ساعت پس از تزریق، با ایجاد یک جراحت کوچک توسط لانست بر روی ورید دم، یک قطره خون بر روی نوار گلوكومتری قرار داده شد و نوار توسط دستگاه گلوكومتر (Glucotrend 2)، شرکت روشه آلمان اندازه‌گیری و موش‌های صحرائی که قند خون آن‌ها بیشتر از 250 mg/dl بود، به عنوان دیابتی در نظر گرفته شدند. برای اطمینان از عدم بازگشت قند خون، در طول دوره برنامه تمرينی هر هفتة و نیز پایان دوره، قند خون موش‌ها اندازه‌گیری شد (۱۴).

آزمون‌های رفتاری: پیش از القاء دیابت، به منظور سازگاری جهت آزمون‌های رفتاری، حیوانات سه روز در معرض آزمایش (دو بار برای هر آزمون) قرار گرفتند. دو هفتة پس از القاء دیابت، آزمون‌های رفتاری درد نوروپاتیک به عنوان شاخص وقوع شرایط پاتولوژیکی نوروپاتی دیابت و برای تائید و میزان درد نوروپاتیک از تمامی گروه‌ها به عمل آمد (۱۵-۱۷). به منظور بررسی اثرات طولانی‌مدت تمرين هر هفتة و تا پایان پروتکل تمرين هوایی آزمون‌های رفتاری درد نوروپاتیک اجرا شد، برای اجتناب از عوامل مداخله‌گر نظیر اثرات ضد دردی القاء شده توسط استرس آزمایش‌های رفتاری میان ساعت ۷ تا ۱۰ صبح انجام شد (۱۷).

کیلوگرم وزن) بی‌هوش شدند. برای بررسی متغیرهای بیوشیمیایی، تحت شرایط سترون و مطابق روش گلدرد و چوبین سال ۱۹۷۷ (۲۲) ابتدا قطعه نخاعی از سطح L4 تا L6 (سگمنت‌های نخاعی مربوطه در موش‌های نر نژاد ویستار در ناحیه مهره‌های T13-L1 ستون فقرات قرار دارد) مشخص گردید، سپس با برش در پایین‌ترین بخش ممکن از ستون فقرات جدا شد. ستون فقرات با استفاده از کانال مرکزی به عنوان شاخص، به بخش قدامی و خلفی تفکیک شد و بخش خلفی نخاع در ناحیه مربوطه را به عنوان نمونه، در نیتروژن مایع منجمد و نمونه‌ها تا زمان انجام آزمایش‌های مولکولی در فریزر ۸۰ درجه سانتی‌گراد نگهداری شدند.

Real Time-PCR: به منظور استخراج RNA، ۵۰ میلی‌گرم از بافت نخاع با اضافه کردن ۳۰۰ میکرو لیتر تراپیزول (کیاژن، آمریکا) هموژن گردید. مراحل مختلف طبق دستورالعمل کیت استخراج RNA تا مرحله نهایی و تهیه RNA خالص انجام شد. محلول RNA استخراج شده با آنزیم I از هرگونه آلودگی به DNA و آنزیم‌های تخریب‌کننده RNA پاکسازی شد. نسبت جذبی ۲۶۰ به ۲۸۰ نانومتر به شیوه طیف‌سنجی نوری برای تمامی نمونه‌های استخراج شده بین ۱/۸ تا ۲ بود. به منظور سنتز cDNA، ۵ میکروگرم از RNA استخراج شده با استفاده از دستورالعمل کیت First Strand RevertAsid cDNA Synthesis (ترموساینتیفیک آمریکا) و با استفاده از پرایم‌های سیناکلون به cDNA تبدیل گردید. از تکنیک RT-qPCR جهت بررسی بیان ژن‌های NF-κB و IL-35 به صورت PCR کمی استفاده شد، هر واکنش PCR با استفاده از دستگاه ABI Step One (Applied Biosystems, Sequence Detection Systems. Foster City, CA) در SYBR Green (master mix Applied Biosystems) طبق برنامه شرکت Real Time PCR در نظر گرفته شد و دماهای هر چرخه شامل ۹۴ درجه سانتی‌گراد برای ۲۰ ثانیه، ۵۸-۶۰ درجه سانتی‌گراد برای ۳۰ ثانیه و ۷۲ درجه سانتی‌گراد برای ۳۰ ثانیه تنظیم شدند. ضمن اینکه از GAPDH به عنوان ژن مرجع استفاده گردید. نسبت بیان ژن‌های مورد بررسی در این مطالعه، با روش

با تار دارای کمترین وزن شروع می‌شد و در صورت عدم ایجاد پاسخ، به ترتیب از تارهای با وزن بالاتر استفاده می‌گردید. هم‌چنین چنانچه دو بار متوالی پاسخ (بلند کردن پا توسط حیوان) مشاهده می‌گردید. همان وزنه به عنوان آستانه پس کشیدن پنجه (PWT) Paw withdrawal threshold ثبت می‌شد و آزمون خاتمه می‌یافت. در مقابل، اگر حیوان به هیچ‌یک از تارها از جمله تار شماره ۶۰ پاسخ نمی‌داد، عدد ۶۰ به عنوان آستانه پاسخ در نظر گرفته می‌شد. هر آزمایش سه بار و به تناب و حداقل سه دقیقه تکرار شد و میانگین آن‌ها به عنوان آستانه پس کشیدن پنجه منظور گردید (۲۰).

پروتکل تمرین هوازی: پس از اطمینان از حصول نوروپاتی دیابت در موش‌های صحرایی نر، پروتکل تمرین هوازی به مدت شش هفته اجرا شد. در پژوهش حاضر پروتکل تمرین هوازی بر اساس مطالعه چانگ هوان و همکاران (۲۰۱۱) انجام گرفت؛ ابتدا به منظور خوگیری به شرایط آزمایشگاه، نوار گردان و دستکاری حیوانات ۵ روز در هفته به مدت ۱۰-۱۵ دقیقه و با سرعت ۱۰ متر بر دقیقه بروی نوار گردان راه رفتند. سپس گروه ورزشی نوروپاتی دیابت تمرین در معرض تمرین نوار گردان، ۵ جلسه در هفته و به مدت ۶ هفته قرار گرفت (۲۱). سرعت و مدت تمرین نوار گردان هر هفته به تدریج افزایش یافت و از ۱۰ متر در دقیقه به مدت ۱۰ دقیقه در هفته اول، ۱۰ متر در دقیقه برای ۲۰ دقیقه در هفته دوم، ۱۴ تا ۱۵ متر در دقیقه برای ۲۰ دقیقه در هفته سوم، ۱۴ تا ۱۵ متر در دقیقه برای ۳۰ دقیقه در هفته چهارم و ۱۷ تا ۱۸ متر در دقیقه برای ۳۰ دقیقه در هفته پنجم و ششم افزایش یافت. جهت رسیدن سازگاری‌های به دست آمده به حالت یکنواخت، تمامی متغیرهای تمرینی در هفته پایانی (هفته ششم) ثابت نگهداشت شد. تمام جلسات تمرینی در پایان سیکل خواب حیوانات و بین ساعت ۱۶-۱۸ عصر برگزار شد.

استخراج نمونه و روش اندازه‌گیری: در پایان شش هفته برنامه تمرینی، ۴۸ ساعت پس از آخرین جلسه تمرین، موش‌ها به وسیله‌ی تزریق درون صفاقی ترکیبی از کتابمین (۹۰ میلی‌گرم به ازای هر کیلوگرم وزن) و زایلazin (۱۰ میلی‌گرم به ازای هر

معناداری پایین تر بود ($P=0.001$) ولی با این حال همچنان اختلاف معنی داری با گروه شاهد وجود داشت ($P=0.012$) (جدول ۲). میانگین مدت زمان تأخیر در پس کشیدن پنجه (Paw withdrawal latency) در آزمون هات پلیت دو هفته پس از القاء دیابت در گروه های نوروپاتی دیابت نسبت به گروه شاهد به طور معنی داری کمتر بود ($P=0.001$). همچنین در هفته های پایانی اجرای پروتکل تمرین هوازی، میانگین مدت زمان تأخیر در پس کشیدن پنجه در آزمون هایپرآلرژیای حرارتی در گروه نوروپاتی دیابت تمرین نسبت به گروه نوروپاتی دیابت به طور معنی داری بیشتر بود ($P=0.001$) (نمودار ۱). دو هفته بعد از القاء دیابت، میانگین تغییرات آستانه پس کشیدن پنجه در آزمون آلودینیای مکانیکی در گروه های نوروپاتی دیابت نسبت به گروه شاهد به طور معنی داری کمتر بود ($P=0.005$). از طرفی در هفته های هفتم و هشتم اجرای پروتکل، میانگین تغییرات آزمون آلودینیای مکانیکی در گروه نوروپاتی دیابت تمرین افزایش معنی داری نسبت به گروه نوروپاتی دیابت داشتند ($P=0.026$) (نمودار ۲). با توجه به میانگین گروه ها، مشخص شد که القاء دیابت موجب کاهش معنادار در میزان بیان ژن IL-35 و افزایش معناداری در ژن NF-kB در بخش خلفی نخاع موش های نوروپاتی دیابت در مقایسه با گروه شاهد شد ($P=0.001$) ($P=0.021$). میزان بیان ژن IL-35 در گروه نوروپاتی دیابت تمرین به طور معناداری نسبت به گروه نوروپاتی دیابت بالاتر بود ($P=0.007$). همچنین میزان بیان ژن NF-kB در گروه نوروپاتی دیابتی تمرین به طور معناداری نسبت به گروه نوروپاتی دیابت پائین تر بود ($P=0.034$). از طرفی میزان بیان ژن های فوق بین گروه های نوروپاتی دیابت تمرین و گروه شاهد تفاوت معنی دار نشان داده نشد ($P=0.02$) (نمودار ۳).

مقایسه های چرخه آستانه Thereshold Cycle(CT) مورد ارزیابی قرار گرفتند. با استفاده از قرار دادن داده ها در فرمول $R = \frac{2}{(\Delta\Delta CT)}$ میزان بیان ژن هدف با ژن مرجع نرمالیز شده و بیان ژن های گروه سالم به عنوان کالیبراتور در نظر گرفته شد. مشخصات پرایمرهای سنتز شده در جدول ۱ ذکر شده است.

تجزیه و تحلیل آماری

جهت تعیین نرمال بودن داده ها از آزمون کلوموگروف- اسمیرنوف Kolmogorov-Smirnov test استفاده شد. برای بررسی معنی دار بودن اختلاف بین گروه ها از تحلیل واریانس یک طرفه و در صورت معنی داری، جهت تعیین تفاوت بین میانگین های دو گروهی از آزمون تعقیبی توکی استفاده شد. تجزیه و تحلیل داده ها با استفاده از نرم افزار SPSS version 16 در سطح معنی داری $p < 0.05$ انجام شد.

ملاحظات اخلاقی

پروپوزال این تحقیق توسط دانشگاه لرستان با کد اخلاقی (IR.SSRC.REC.1397.017) تایید شده است

نتایج

نتایج نشان داد که وزن اولیه گروه ها اختلاف معناداری با یکدیگر نداشت ($P=0.328$)، اما در هفته های پایانی پژوهش، میانگین تغییرات وزن موش های گروه های نوروپاتی دیابت نسبت به گروه شاهد به صورت معناداری کمتر بود ($P=0.001$). همچنین، میانگین تغییرات وزن گروه نوروپاتی دیابت تمرین نسبت به گروه نوروپاتی دیابت، در هفته هشتم افزایش معنادار داشتند ($P=0.063$) (جدول ۲). پس از القاء دیابت، سطوح گلوکز خون به صورت معناداری در گروه های نوروپاتی دیابت افزایش یافت ($P=0.001$) و این اختلاف تا پایان دوره پژوهش در مقایسه با گروه شاهد همچنان معنی دار بود ($P=0.001$ ، همچنین، در پایان برنامه تمرینی، غلظت گلوکز خون گروه نوروپاتی دیابت تمرین نسبت به گروه نوروپاتی دیابت به صورت

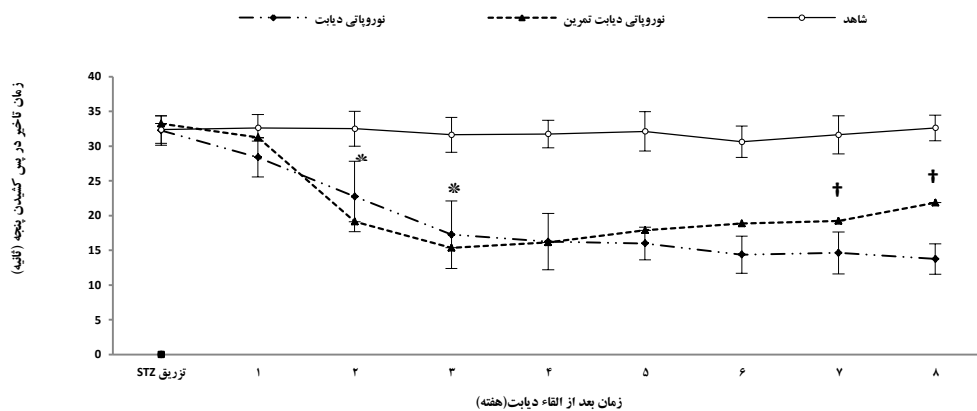
جدول ۱: مشخصات توالی پرایمر های ژن های مورد استفاده در پژوهش

نام ژن	شماره (Accession)	توالی رفت (Forward)	توالی معکوس (Reverse)	طول قطعه محصول (product length)
ان اف-کاپا بی (NF-κB)	NM_199267.2	5'- TTTCTTCAATCCGGTGGCGA-3'	5'- CATA CGCTGACCC TAGCCTG-	: 5'-
اینترلوكین (IL-35 35)	NM_001109421.2	3'- دمای ذوب (Tm): ۵۹/۹۷ محتوای (GC): ۶۰/۰۰	5'- CGGCTTGATGATT CGCTC-3' دمای ذوب (Tm): ۵۶/۳۹ محتوای (GC): ۵۵/۵۶	: 5'-
ژن کنترل (GAPDH)	NM_017008.4	3'- دمای ذوب (Tm): ۶۱/۶۵ محتوای (GC): ۶۰/۰۰	5'- AGCCCAGGATGCCCTT TAGT- دمای ذوب (Tm): ۶۰/۹۲ محتوای (GC): ۵۵/۰۰	: 5'-

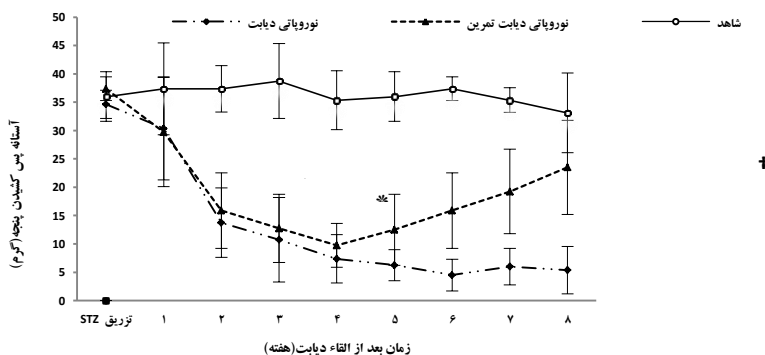
جدول ۲: نتایج آزمون تحلیل واریانس دو طرفه وزن بدن و سطح گلوکز خون در موشـهای گروهـهای مختلف

متغیر	گروهـها			
	نوروفیاتی دیابت (n = ۸)	نوروفیاتی دیابت تمرین (n = ۸)	انحراف معيار± ميانگين	انحراف معيار± ميانگين
القا دیابت	۲۰.۶/۸±۱۱/۴	۲۱.۰/۶±۹/۶	۲۱.۰/۶±۹/۶	۲۰.۵/۴±۱۳/۱
وزن (گرم)	۲۱.۴/۶±۱۱/۱	۲۰.۳/۳±۸/۷	۲۰.۳/۳±۸/۷	۱۹.۸/۰±۱۰/۲
هفتـه چهارم	۲۲.۹/۳±۹/۱	۱۸.۷/۴±۶/۹*	۱۸.۷/۴±۶/۹*	۱۸.۵/۵±۱۰/۴*
هفتـه ششم	۲۴.۲/۸±۸/۱	۱۸.۶/۰±۶/۴*	۱۸.۶/۰±۶/۴*	۱۶.۰/۱±۸/۱*
هفتـه هشتم	۲۵.۸/۵±۹/۸	۲۱.۰/۴±۹/۸†	۲۱.۰/۴±۹/۸†	۱۴.۱/۰±۷/۴*
القا دیابت	۱۰.۶/۸±۱۳/۸	۴۹.۵/۱±۷۱/۶*	۴۹.۵/۱±۷۱/۶*	۴۲.۱/۹±۱۱۳/۱*
هفتـه دوم	۱۰.۸/۱±۱۳/۸	۵۲.۲/۴±۵۷/۹*	۵۲.۲/۴±۵۷/۹*	۴۶.۵/۴±۸۱/۱*
هفتـه چهارم	۱۰.۲/۱±۱۴/۱	۵۲.۲/۴±۳۴/۸*	۵۲.۲/۴±۳۴/۸*	۵۱.۵/۹±۶۱/۳*
هفتـه ششم	۱۰.۱/۶±۱۳/۳	۴۳.۴/۵±۵۵/۱*	۴۳.۴/۵±۵۵/۱*	۵۶.۳/۴±۴۱/۰*
هفتـه هشتم	۱۰.۴/۳±۱۷/۷	۳۵.۵/۳±۶۰/۸†*	۳۵.۵/۳±۶۰/۸†*	۶۰.۱/۹±۲۴/۱*

کلیه مقادیر جدول به صورت انحراف استاندارد ± میانگین می باشند. * اختلاف معنی دار با گروه نوروفیاتی دیابتی ($p < 0.05$). † اختلاف معنی دار با گروه شاهد ($p < 0.05$).



نمودار ۱: تغییرات زمان تأخیر در پس کشیدن پنجه در آزمون هایپرآلزیای حرارتی گروههای مختلف

* اختلاف معنی دار با گروه شاهد ($P<0.05$). † اختلاف معنی دار با گروه نوروباتی دیابتی ($P<0.05$).

نمودار ۲: تغییرات آستانه پس کشیدن پنجه در آزمون آلودینیای مکانیکی گروههای مختلف

* اختلاف معنی دار با گروه شاهد ($P<0.05$). † اختلاف معنی دار با گروه نوروباتی دیابتی ($P<0.05$).

نمودار ۳: میزان بیان زن NF-κB و IL-35 در بخش خلفی نخاع گروههای مختلف.

* اختلاف معنی دار با گروه شاهد ($P<0.05$). † اختلاف معنی دار با صگروه نوروباتی دیابتی ($P<0.05$).

بحث

و به کارگیری این عوامل اثرگذار در این تغییر نشاندهنده یک راهبرد درمانی جدید برای درد نوروپاتی دیابتی است. محققین افزایش سطوح عوامل التهابی IL-6, TNF- α , CD68, iNOS و IL-1 β را به عنوان نشانگرهای فعالیت فنوتیپ M₁ میکروگلیال‌ها عنوان کردند (۲۷). نتایج حاصل از داده‌های پژوهش حاضر عنوان داد که میزان بیان ژن فاکتور رونویسی NF-kB نشان داد که میزان بیان ژن افزايش بیان شده کننده عوامل التهابی در گروه نوروپاتی دیابتی افزایش بیان شده بود. افزایش بیان این عامل رونویسی در نخاع، نشان بر فعالیت میکروگلیال‌ها فنوتیپ M₁ دارد. آزمایش‌های حیوانی و مطالعات In Vitro نشان داده‌اند که IL-35 برونز از طریق مهار مسیر پیام‌رسانی JNK و تنظیم مثبت مسیر سیگنالینگ JAK2/STAT6 نقش مهمی در پلاریزاسیون ماکروفائزها از فنوتیپ M₁ التهابی به فنوتیپ ضدالتهابی M₂ ایفا می‌کند (۸,۹). با توجه به اینکه افزایش نشانگرهای فعالیت میکروگلیال‌ها فنوتیپ M₂ شاخص‌های ضدالتهابی همانند ARG-1، IL-10 و IL-35 هستند (۹). احتمالاً کاهش میزان بیان ژن IL-35 بافت نخاع موش‌های صحرایی گروه نوروپاتی دیابتی در پژوهش حاضر، کاهش فعالیت فنوتیپ M₂ را در این گروه نشان دهد. تحقیقات نشان داده‌اند که سلول‌های سیستم ایمنی اثر بیولوژیکی خود را از طریق تنظیم بیان سایتوکین‌های ضدالتهابی مانند IL-4 و IL-10 انجام می‌دهند (۲۸)؛ بنابراین هدف قرار دادن سایتوکین ضدالتهابی IL-35 و سنتز آن در نورون‌های حسی، ممکن است، به عنوان یک رویکرد مهم درمانی برای درد نوروپاتیک دیابت استفاده شود. مطالعات اثرات محافظتی تمرین هوازی را در طی شرایط فیزیولوژیکی و پاتولوژیکی از جمله تنظیم سیستم ایمنی، افزایش سطوح شاخص‌های ضدالتهابی و افزایش ظرفیت آنتی‌اکسیدانی به خوبی به اثبات رسانده‌اند (۲۹). ولی هیچ‌گونه مطالعه‌ای، نقش فعالیت هوازی را بر سایتوکین ضدالتهابی IL-35 در سیستم عصبی محیطی و رابطه آن با آزمون‌های رفتاری درد نوروپاتیک انجام نگرفته است. مطالعات نشان داده‌اند که فعالیت‌های ورزشی قطبش میکروگلیال‌ها نخاع را به فنوتیپ M₂ تغییر داده و نوروپاتی دیابتی را بهبود بخشیده است (۳۰)؛ بنابراین این

در پژوهش حاضر اثر تمرین هوازی بر میزان بیان ژن IL-35 و NF-kB در بافت نخاع موش‌های مبتلا به درد نوروپاتی دیابتی و همچنین آستانه پاسخ به آزمون‌های رفتاری درد نوروپاتی، آزمون‌های پلیت (حساسیت سیستم عصبی به حرکت‌های دردناک) و آزمون آلودینیای مکانیکی (حساسیت سیستم عصبی به حرکت‌های بدون درد) مورد بررسی قرار گرفت. یافته‌های پژوهش حاضر نشان داد که پس از القاء و اثبات درد نوروپاتی دیابت ناشی از تزریق استرپتوزوسمین، میزان بیان ژن IL-35 را در بخش خلفی نخاع به طور معنی‌داری افزایش و میزان بیان ژن NF-kB را کاهش و آستانه پاسخ به آزمون‌های رفتاری درد نوروپاتی را افزایش داده است. تحقیقات زیادی نشان داده‌اند که اتو اکسیداسیون گلوکز به دنبال هیپرگلیسمی باعث تولید بی‌رویه رادیکال‌های آزاد و سطوح عوامل التهابی در سلول‌ها از جمله نورون‌ها می‌شود، گمان می‌رود که این تغییرات بیوشیمیایی در سلول‌های گلیال و نورون‌های محیطی باعث اختلال در حساسیت طبیعی نوسیسپتورها به حرکت‌های درد زا و غیر درد زا می‌شود (۲۳). به طور کلی پذیرفته شده است که تولید بیش از حد واسطه‌های التهابی درنتیجه دیابت، نقش مهمی در شروع و حفظ درد نوروپاتی دیابتی دارد (۲۴). در شرایط فیزیولوژی طبیعی، میکروگلیاهای واسطه‌های ضدالتهابی را آزاد و بقایای سلول‌های سمی را فاگوسیتوز کرده تا هموستاز را در سیستم عصبی حفظ کنند. مشخص شده است که میکروگلیاهای توسط عوامل متعددی از جمله هایپرگلیسمی فعال می‌شوند، فعال‌سازی طولانی‌مدت میکروگلیاهای باعث تولید بیش از حد سیتوکین‌های التهابی شده که این عامل منجر به التهاب عصبی می‌شود (۲۵). پژوهش‌ها نشان دادند که تحت شرایط استرس ناشی از هایپرگلیسمی، فنوتیپ سلول‌های میکروگلیال به M₁ تغییر کرده و میزان بیان ژن‌های پیش التهابی IL-6 و IL-1 β و TNF- α افزایش می‌یابند، این عامل نقش مهمی در شروع و تداوم درد نوروپاتیک دیابتی دارد (۲۶). تحقیقات اخیر گزارش داده‌اند که عواملی می‌توانند پلاریزاسیون میکروگلیال‌ها از فنوتیپ M₁ پیش التهابی به فنوتیپ ضدالتهابی M₂ را تغییر دهنند، شناسایی

شده و این عامل منجر به افزایش حساسیت گیرنده‌های درد می‌شود. با این حال شش هفته تمرین هوازی توانسته است این میزان بیان سایتوکین ضدالتهابی IL-35 را تنظیم مثبت و بیان فاکتور رونویسی NF-kB را تنظیم منفی کند و حساسیت سیستم عصبی به محرك‌های دردناک را کاهش دهد. لذا به نظر می‌رسد که تمرین هوازی از طریق افزایش سطوح سایتوکین‌های ضدالتهابی منجر به کاهش التهاب عصبی شده و از این طریق در کاهش عوارض نوروپاتی دیابتی اثرگذار بوده است.

سپاس‌گزاری

این مقاله مستخرج از پایان‌نامه دوره دکتری رشته فیزیولوژی ورزشی می‌باشد؛ از کلیه کارشناسان محترم آزمایشگاه و استادی گروه فیزیولوژی ورزشی دانشگاه لرستان تشکر و قدردانی می‌شود. ضمناً کلیه هزینه‌های این طرح شخصی تأمین شده است.

حامی مالی: ندارد.

تعارض منافع: وجود ندارد.

احتمال وجود دارد که فعالیت هوازی، به واسطه اثرات آنتی‌اکسیدانی و ضدالتهابی، توانسته است تولید پروتئین‌های آنتی‌اکسیدان و عوامل ضدالتهابی مانند IL-35 را تنظیم مثبت کرده و از این طریق با تأثیر و دخالت بر مهار مسیرهای التهابی در سیستم عصبی، باعث کاهش عوارض نوروپاتی دیابتی در مoshهای صحرایی مورد آزمون شده باشد. با این حال، عدم اندازه‌گیری پروتئین‌های دفاعی آنتی‌اکسیدان‌های آنزیمی و غیر آنزیمی که در نتیجه نوروپاتی دیابتی تنظیم مثبت می‌شوند، در پژوهش حاضر به عنوان یک محدودیت از بحث دقیق در این زمینه جلوگیری می‌کند. با این وجود پیشنهاد می‌شود در پژوهش‌های آتی، همراه با اندازه‌گیری سایتوکین ضدالتهابی IL-35 سایر عوامل ضدالتهابی مانند IL-10 و IL-4 به عنوان شاخص‌های فعالیت میکروگلیاهای فنوتیپ M₂ و مارکرهای فنوتیپ M₁ شامل CD68، iNOS، IL-1 β ، IL-6 و TNF- α برای دستیابی به شرایط قطعی‌تر مورد بررسی قرار دهن.

نتیجه گیری

پژوهش حاضر نشان داد که القاء دیابت باعث کاهش میزان بیان ژن IL-35 و افزایش بیان NF-kB در بخش حسی نخاع

References:

- 1-Feldman EL, Nave KA, Jensen TS, Bennett DL. *New Horizons in Diabetic Neuropathy: Mechanisms, Bioenergetics, and Pain*. Neuron 2017; 93(6): 1296-313.
- 2-Calcutt NA. *Diabetic Neuropathy and Neuropathic Pain: A (Con) Fusion of Pathogenic Mechanisms?* Pain 2020; 161(Suppl 1): S65-8.
- 3-Schreiber AK, Nones CF, Reis RC, Chichorro JG, Cunha JM. *Diabetic Neuropathic Pain: Physiopathology and Treatment*. World J of diabetes 2015; 6(3): 432-44.
- 4-Sai Laxmi M, Prabhakar O. *Inflammatory Biomarkers as a Part of Diagnosis in Diabetic Peripheral Neuropathy*. Journal of Diabetes and Metabolic Disorders 2021; 20: 869-82.
- 5-Pop-Busui R, Ang L, Holmes C, Gallagher K, Feldman EL. *Inflammation as a Therapeutic Target for Diabetic Neuropathies*. Curr Diab Rep 2016; 16(3): 29.
- 6-Li X, Mai J, Virtue A, Yin Y, Gong R, Sha X, et al. *IL-35 is a Novel Responsive Anti-Inflammatory Cytokine—a New System of Categorizing Anti-*

- Inflammatory Cytokines.** PloS One 2012; 7(3): e33628.
- 7-Yang XF, Li X, Mai J, Virtue A, Yin Y, Sha X, et al. IL-35 is a Novel Responsive Anti-Inflammatory Cytokine-A New System of Categorizing Anti-Inflammatory Cytokines.** American Society of Hematology; 2012; 120(21): 5197.
- 8-Jiang Y, Wang J, Li H, Xia L. IL-35 Alleviates Inflammation Progression in a Rat Model of Diabetic Neuropathic Pain Via Inhibition of JNK Signaling.** J Inflamm (Lond) 2019; 16: 19.
- 9- Jiang Y, Wang J, Li H, Xia L. IL-35 Promotes Microglial M2 Polarization in a Rat Model of Diabetic Neuropathic Pain.** Arch Biochem Biophys 2020; 685: 108330.
- 10-Hosseini A, Abdollahi M. Diabetic Neuropathy and Oxidative Stress: Therapeutic Perspectives.** Oxid Med Cell Longev 2013; 2013: 168039.
- 11-Singleton JR, Smith AG, Marcus RL. Exercise as Therapy for Diabetic and Prediabetic Neuropathy.** Curr Diab Rep 2015; 15(12): 120.
- 12-Yan J-E, Yuan W, Lou X, Zhu T. Streptozotocin-Induced Diabetic Hyperalgesia in Rats is Associated with Upregulation of Toll-Like Receptor 4 Expression.** Neurosci lett 2012; 526(1): 54-8.
- 13-Morrow TJ. Animal Models of Painful Diabetic Neuropathy: the STZ Rat Model.** Current Protocols in Neuroscience 2004; Chapter 9: Unit 9.18.
- 14-Wei M, Ong L, Smith MT, Ross FB, Schmid K, Hoey AJ, et al. The Streptozotocin-Diabetic Rat as a Model of the Chronic Complications of Human Diabetes.** Heart Lung Circ 2003; 12(1): 44-50.
- 15-Malmberg AB, Bannon AW. Models of Nociception: Hot-Plate, Tail-Flick, and Formalin Tests in Rodents.** Current Protocols in Neuroscience 1999; 6(1): 8.9. 1-8.9. 15.
- 16-Chen YW, Hsieh PL, Chen YC, Hung CH, Cheng JT. Physical Exercise Induces Excess Hsp72 Expression and Delays the Development of Hyperalgesia and Allodynia in Painful Diabetic Neuropathy Rats.** Anesthesia & Analgesia 2013; 116(2): 482-90.
- 17-Yoon H, Thakur V, Isham D, Fayad M, Chattopadhyay M. Moderate Exercise Training Attenuates Inflammatory Mediators in DRG of Type 1 Diabetic Rats.** Experimental Neurology 2015; 267: 107-14.
- 18-Rossi DM, Valenti VE, Navega MT. Exercise Training Attenuates Acute Hyperalgesia in Streptozotocin-Induced Diabetic Female Rats.** Clinics (Sao Paulo) 2011; 66(9): 1615-9.
- 19-Gong YH, Yu XR, Liu HL, Yang N, Zuo PP, Huang YG. Antinociceptive Effects of Combination of Tramadol and Acetaminophen on Painful Diabetic Neuropathy in Streptozotocin-Induced Diabetic Rats.** Acta Anaesthesiol Taiwan 2011; 49(1): 16-20.
- 20-Chae CH, Jung SL, An SH, Jung CK, Nam SN, Kim HT. Treadmill Exercise Suppresses Muscle Cell Apoptosis by Increasing Nerve Growth Factor Levels and Stimulating P-Phosphatidylinositol 3-Kinase Activation in the Soleus of Diabetic Rats.** J Physiol Biochem 2011; 67(2): 235-41.

- 21-Gelder JB, Chopin SF. *The Vertebral Level of Origin of Spinal Nerves in the Rat*. Anat Rec 1977; 188(1): 45-7.
- 22-Keri KC, Samji NS, Blumenthal S. *Diabetic Nephropathy: Newer Therapeutic Perspectives*. J Community Hosp Intern Med Perspect 2018; 8(4): 200-7.
- 23-Thakur V, Sadanandan J, Chattopadhyay M. *High-Mobility Group Box 1 Protein Signaling in Painful Diabetic Neuropathy*. Int J Mol Sci 2020; 21(3): 881.
- 24-Ismail CAN, Suppian R, Ab Aziz CB, Long I. *Expressions of Spinal Microglia Activation, BDNF, and DREAM Proteins Correlated with Formalin-Induced Nociceptive Responses in Painful and Painless Diabetic Neuropathy Rats*. Neuropeptides 2020; 79: 102003.
- 25-Wang D, Couture R, Hong Y. *Activated Microglia in the Spinal Cord Underlies Diabetic Neuropathic Pain*. Eur J Pharmacol 2014; 728: 59-66.
- 26-Jin GL, Hong LM, Liu HP, Yue RC, Shen ZC, Yang J, et al. *Koumine Modulates Spinal Microglial M1 Polarization and the Inflammatory Response through the Notch-RBP-Jκ Signaling Pathway, Ameliorating Diabetic Neuropathic Pain in Rats*. Phytomedicine 2021; 90: 153640.
- 27-Xiaohua G, Dongdong L, Xiaoting N, Shuoping C, Feixia S, Huajun Y, et al. *Severe Vitamin D Deficiency is Associated with Increased Expression of Inflammatory Cytokines in Painful Diabetic Peripheral Neuropathy*. Front Nutr 2021; 8: 612068.
- 28-da Luz Scheffer D, Latini A. *Exercise-Induced Immune System Response: Anti-Inflammatory Status on Peripheral and Central Organs*. Biochim Biophys Acta Mol Basis Disease 2020; 1866(10): 165823.
- 29-Sun JS, Yang YJ, Zhang YZ, Huang W, Li ZS, Zhang Y. *Minocycline Attenuates Pain by Inhibiting Spinal Microglia Activation in Diabetic Rats*. Mol Med Rep 2015; 12(2): 2677-82.
- 30-Gong X, Chen Y, Fu B, Jiang J, Zhang M. *Infant Nerve Injury Induces Delayed Microglial Polarization to The M1 Phenotype, and Exercise Reduces Delayed Neuropathic Pain By Modulating Microglial Activity*. Neuroscience 2017; 349: 76-86.

Effect of Aerobic Exercise on IL-35 Anti-Inflammatory Cytokine and Behavioral Pain Responses in a Model of Diabetic Neuropathy Rats

Siros Hosseini Askarabadi^{*1}, Ahmad Kaki²

Original Article

Introduction: Nerve inflammation plays an important role in the occurrence and development of diabetic neuropathy pain. The aim of this study was to evaluate the effect of aerobic exercise on anti-inflammatory cytokine IL-35 and behavioral pain responses in a model of diabetic neuropathy rats.

Methods: In this experimental study, twenty four 8-week-old male Wistar rats (weight range: 204 ± 11.3 grams) were randomly divided into three groups ($n = 8$): diabetic neuropathy, diabetic neuropathy exercise and control. After confirmation of diabetic neuropathy pain by hot plate behavioral tests and mechanical allodynia, the aerobic exercise protocol was implemented. IL-35 and NF- κ B gene expression in spinal cord tissue was measured by real-time PCR. One-way analysis of variance and Tukey's post hoc test with SPSS version 16 software were used for statistical analysis ($P < 0.05$).

Results: Exercise reduced the response of behavioral tests of diabetic neuropathic pain in the exercise group compared to the diabetic neuropathy group ($P < 0.05$). Induction of diabetes caused a significant decrease in IL-35 gene expression and a significant increase in NF- κ B gene ($P=0.001$) ($P=0.021$). There was also a significant increase in IL-35 gene expression and a significant decrease in NF- κ B gene expression in the exercise group compared to the diabetic neuropathy group ($P=0.007$) ($P=0.034$).

Conclusion: It seems that aerobic training has reduced the sensitivity of nociceptors to pain agents by activating the anti-inflammatory cytokine IL-35 in spinal cord microglia. It is recommended to use aerobic exercise to reduce neuropathic pain.

Keywords: Aerobic exercise, Interleukin-35, NF- κ B, Neuropathic pain.

Citation: Hosseini Askarabadi S, Kaki A. Effect of Aerobic Exercise on IL-35 Anti-Inflammatory Cytokine and Behavioral Pain Responses in a Model of Diabetic Neuropathy Rats. J Shahid Sadoughi Uni Med Sci 2023; 31(1): 6301-12.

¹Department of Sports Physiology, Behbahan Branch, Islamic Azad University, Behbahan, Iran.

²Department of Sports Physiology, Ahvaz Branch, Islamic Azad University, Ahvaz, Iran.

*Corresponding author: Tel: 09168305607, email: siroshfd@gmail.com